

N3 F

FN<sub>3</sub>

1966

V 12 Б98. Спектр поглощения азида фтора. Gipstein  
Edward, Haller John F. Absorption spectrum of  
fluorine azide. «Appl. Spectrosc.», 1966, 20, № 6, 417—418  
(англ.)

Исследовано разложение азида фтора, минуя фазу, конденсации при 100°. Азид фтора — газ ярко-зеленого цвета, имеющий полосу поглощения, при 410 мк.

P. Хайкин

X · 1967 · 12

1966

# $\text{FN}_3$

V1

— 80620c Absorption spectrum of fluorine azide. Edward Gipstein and John F. Maller (Olin Mathieson Chem. Corp., New Haven, Conn.). *Appl. Spectrosc.* 20(6), 417-18(1966)(Eng). Improved yields of  $\text{FN}_3$  were obtained by reaction of 2 moles dry  $\text{HN}_3$  with 1 mole F gas at room temp. The  $\text{HN}_3$  was carried into the reaction chamber in a stream of dry N at 45 cc./min. Details are given of the app. and procedure for safe reaction. The product, a green gas, was characterized by its visible spectrum in N. In addn. to a strong band at  $410 \text{ m}\mu$ , weaker bands were observed at 378, 390, 397, 428, 439, and 444 m}\mu. M. F. Barash

C. A. 1967 · 66 · 18

1986

19 Б4373. Фотолиз  $\text{FN}_3$  при 193 нм. Photolysis of  $\text{FN}_3$  at 193 nm. Patel D., Pritt A. T., Benard D. J. «J. Phys. Chem.», 1986, 90, № 9, 1931—1934 (англ.)

Изучены эмиссионные спектры в видимой области, возбуждаемые при импульсном Фт  $\text{NF}_3$  светом 193 нм эксимерного лазера на  $\text{ArF}$  (интегральный поток энергии в импульсе 5—130 мДж/см<sup>2</sup>). Р-цию проводили при давл. 10—200 Торр в потоке, получаемом смешиванием двух газовых потоков —  $\text{HN}_3 + \text{N}_2$  и  $\text{F}_2 + \text{N}_2$ , так что  $\text{FN}_3$  получался в р-ции  $\text{HN}_3 + \text{F}_2$  непосредственно в потоке. Наблюдали спектр. полосы  $\text{NF}(b \rightarrow X)$  при 528 нм и  $\text{N}_2(B \rightarrow A)$  при 600—800 нм, причем в первые 500 нс после фотолизующего импульса колебат. распределение  $\text{NF}(b)$  является больцмановским и соответствует т-ре 1200 К в отличие от изученного ранее Фт  $\text{ClF}_3$ , где образуется  $\text{NCl}(b)$  с неравновесно высоким заселением колебат. состояний  $v' \leq 10$ . Сечение фотодиссоциации  $\text{FN}_3$  при 193 нм равно  $2,8 \cdot 10^{-17} \text{ см}^2$ . Выходы образования  $\text{NF}(b)$  и  $\text{N}_2(A)$  равны соотв. 5% и 25%. Константы скорости тушения  $\text{NF}(b)$  и  $\text{N}_2(A)$  в соударениях с  $\text{FN}_3$  и  $\text{NO}$  найдены равными  $(8,7 \pm 3,0) \cdot$

спектр, диф

(4)

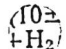
X

X.1986, 19, N 19

 $\text{FN}_3(\Delta \text{H}_f)$

$\cdot 10^5$  и  $(1,1 \pm 0,2) \cdot 10^6$  Торр $^{-1} \cdot \text{с}^{-1}$  соотв., а теплота образования FN<sub>3</sub> лежит в диапазоне 120—135 ккал/моль.

В. Е. Скурат



N<sub>3</sub>F      Om. 27602

1987

Gholivand K., Schatte G.,  
et al.,

uk

cremnp.  
racemmer  
winterach. 26, N 13,      Inorg. Chem., 1987,  
                                        2137-2140.

*FN<sub>3</sub>*

*1987*

№ 2 Б1044. Электронная структура и энергетика азиды фтора ( $\text{FN}_3$ ). Electronic structure and energetics of fluogrime azide ( $\text{FN}_3$ ) / Michels H. A., Montgomery J. A. // Abstr. Pap., 194th ACS Nat. Meet. (Amer. Chem. Soc.), New Orleans, La, Aug. 30-Sept. 4, 1987.— Washington, D. C., (1987).— С. 953.— Англ.

*М.Л.*  
Проведен расчет основного электронного состояния  ${}^1\text{A}'$  молекулы  $\text{FN}_3$  с помощью теории возмущений Меллера — Плессета 2-го порядка и методом конфигурационного взаимодействия с учетом одно- и двукратных возбуждений по отношению к хартри-фоковскому детерминанту. Равновесная конфигурация  $\text{FN}_3$  имеет симметрию  $C_s$  и угол F—N—N  $104,3^\circ$ . Полученная теплота образования  $\text{FN}_3$  (515 кДж/моль) согласуется с экспериментальными данными, основанными на исследовании лазерного ФТ  $\text{FN}_3$ . Энергия диссоциации на  $\text{N}_2 + \text{NF}$  и  $\text{F} + \text{N}_3$  составила 33 и 85 кДж/моль соответственно. А. А. Сафонов

*X. 1989, № 2*

00 29449 1988

FN<sub>3</sub>

7 Л175. Изучение структуры триазодиенилфторида FN<sub>3</sub> методами микроволновой и ИК-спектроскопии и с помощью расчетов неэмпирическими методами. Structure of triazadienyl fluoride, FN<sub>3</sub>, by microwave, infrared, and ab initio methods. Christen D., Mack H. G., Schatte G., Willner H. «J. Amer. Chem. Soc.», 1988, 110, № 3, 707—712 (англ.)

В области частот 18—26,5 ГГц измерен микроволни. спектр и в области частот 200—2500 см<sup>-1</sup>. ИК-спектр поглощения молекулы FN<sub>3</sub> в газовой фазе и ее различных изотопомеров, обогащенных ядрами <sup>15</sup>N. Проведен колебательно-вращательный анализ, определены гармо-нич. силовые постоянные, молекулярная структура, вра-щательные постоянные, постоянные центробежного ис-кажения и ядерного квадрупольного взаимодействия. По штарковскому сдвигу частот определены также ком-поненты дипольного момента по главным осям инерции и общий дипольный момент FN<sub>3</sub>. Проведены также рас-четы этих параметров FN<sub>3</sub> с помощью неэмпирич. кван-товохимич. методов.

В. А. Морозов

Ф. 1988, 18, № 7

*FN<sub>3</sub>*

OM.29449

1988

108: 64885y Structure of triazadienyl fluoride, FN<sub>3</sub>, by microwave, infrared, and ab initio methods. Christen, Dines; Mack, H. G.; Schatte, G.; Willner, H. (Inst. Phys. Theor. Chem., Univ. Tuebingen, D-7400 Tuebingen, Fed. Rep. Ger.). *J. Am. Chem. Soc.* 1988, 110(3), 707-12 (Eng). Microwave and IR spectra of unstable FN<sub>3</sub> and its various <sup>15</sup>N-enriched isotopomers were recorded and analyzed, yielding data on mol. structure, dipole moment, and harmonic force consts. The rotational consts. for the parent isotopic species are (in MHz) A = 48 131.448, B = 5713.288, C = 5095.276. The dipole moments are  $\mu_a$  = 1.1,  $\mu_b$  = 0.7,  $\mu_{total}$  = 1.3. The fundamental frequencies (cm<sup>-1</sup>) are 2037, 1090, 873.5, 658, 241, 504. The diagonal force consts. (100 N/m) are f<sub>N<sub>a</sub>N<sub>a</sub></sub> = 17.414, f<sub>N<sub>a</sub>N<sub>b</sub></sub> = 6.686, f<sub>N<sub>a</sub>F</sub> = 3.753, f<sub>FN<sub>a</sub>N<sub>b</sub></sub> = 1.245, f<sub>N<sub>a</sub>N<sub>b</sub>N<sub>a</sub></sub> = 0.477, f<sub>oop</sub> = 0.014. The structural parameters are r<sub>NF</sub> = 144.4, r<sub>N<sub>a</sub>N<sub>b</sub></sub> = 125.3, r<sub>N<sub>a</sub>N<sub>a</sub></sub> = 113.2 pm;  $\angle$ FN<sub>a</sub>N<sub>b</sub> = 103.8°,  $\angle$ N<sub>a</sub>N<sub>b</sub>N<sub>a</sub> = 170.9°. Ab initio calens. using 6-31G\* and MP2/6-31G\* basis sets were carried out to calc. structure, force field, dipole moment, and elec. field gradients at the <sup>14</sup>N quadrupole nuclei.

48, LC meop.  
nacem empf.  
all. NO CM.

C.A. 1988, 108, N8

*FN<sub>3</sub>*

01. 29449 1988

15 Б1071. Изучение строения молекулы триазадиенилфторида, FN<sub>3</sub>, с использованием микроволновой и ИК-спектроскопии и неэмпирических расчетов. Structure of triazadienyl fluoride, FN<sub>3</sub>, by microwave, infrared, and ab initio methods. Christen D., Mack H. G., Schatte G., Willner H. «J. Amer. Chem. Soc.», 1988, 110, № 3, 707—712 (англ.)

Экспериментальные данные по строению и физ. св-вам молекулы FN<sub>3</sub>, полученные на различных образцах с обогащением изотопом <sup>15</sup>N, сопоставлены с результатами неэмпирич. расчетов в базисе 6-31 ГФ\* с учетом (МП2) и без учета электронной корреляции. Результаты расчетов молек. структуры, дипольных моментов и гармонич. силового поля для FN<sub>3</sub>, а также изученной ранее молекулы HN<sub>3</sub> находятся в хорошем полуколич. соответствии друг с другом. Учет корреляции, как правило, заметно улучшает совпадение опытных и расчетных данных.

С. П. Долин

X. 1988, 19, N 15

*FN<sub>3</sub>*

*Ок 29096*

*1988*

16 Б1026. Фторазид и фторнитрат: структура и связь. Fluorine azide and fluorine nitrate: structure and bonding. Peters N. J. S., Allen L. C., Firestone R. A. «Inorg. Chem.», 1988, 27, № 4, 755—758 (англ.)

Неэмпирическим методом ССП в базисах 4-31 ГФ и 6-31 ГФ\* с учетом электронной корреляции по теории возмущений Меллера—Плессета 2-го порядка в базисе 6-31 ГФ\* определена равновесная геометрия фторазида  $\text{FN}_3$  и фторнитрата  $\text{FNO}_3$ . Построены карты распределения электронной плотности валентных МО. Установлено, что  $\text{FN}_3$  имеет плоскую конформацию с близкой к линейной конформацией фрагмента  $\text{N}_3$ . Согласно анализу заселенностей по Малликену связь F—N в  $\text{FN}_3$  полярна с отриц. зарядами на обоих атомах и переносом электронной плотности с F на N. Установлено, что молекула  $\text{FNO}_3$  плоская. Геометрия близка к экспериментальной.

Н. В. Харчевникова

(41) 12



X. 1988, 19, N 16

$\text{FN}_3$

(011-29096)

1988

108: 82337a Fluorine azide and fluorine nitrate: structure and bonding. Peters, Nancy J. S.; Allen, Leland C.; Firestone, Raymond A. (Nat. Sci. Div., Long Island Univ., Southampton, NY 11968 USA). *Inorg. Chem.* 1988, 27(4), 755-8 (Eng). The electronic and mol. structures were calcd. of  $\text{FN}_3$  and  $\text{FONO}_2$  mols. by using split-valence and d-orbital polarized basis sets and the GAUSSIAN 82 program. Single function and correlated wave functions were detd. by 2nd-order perturbation theory.

M. Leonenko  
Chelyabinsk,  
USSR. pacem

①

(B) M  
Per

$\text{FONO}_2$

C.A. 1988, 108, N 10.

*N<sub>3</sub>F*

1988

16 Б1145. Фотоэлектронный спектр и электронная структура триазадиенилфторида, N<sub>3</sub>F. Photoelectron spectrum and electronic structure of triazadienyl fluoride, N<sub>3</sub>F. Rademacher P., Bittner A. J., Schatte G., Willner H. «Chem. Ber.», 1988, 121, № 3, 555—557 (англ.)

Исследован фотоэлектронный спектр (ФЭС) молекулы триазадиенилфторида, N<sub>3</sub>F, возбуждаемый He-I. Для интерпретации спектра выполнен неэмпирич. расчет Пт ионизации (ПИ) верхних валентных МО. Положение (в эВ) и отнесение основных пиков в ФЭС N<sub>3</sub>F: 11,01 (МО 3a'', π), 13,72 (МО 8a', n<sub>N</sub>, n<sub>F</sub>) 15,6 (МО 7a', n<sub>F</sub>), 15,9 (МО 2a'', π<sub>F</sub>), 16,67 (МО 6a', n<sub>N</sub>, σ), 18,2 (МО 1a'', π), 19,7 (МО 5a', σ). У двух первых полос наблюдалась компоненты колеба<sup>т</sup>. структуры с Δv = =800 и 1800 см<sup>-1</sup>, отнесенные к колебаниям ν<sub>2</sub> (сим. вал. кол. фрагмента N<sub>3</sub>) и ν<sub>1</sub> (асим. вал. кол. N<sub>3</sub>) катиона N<sub>3</sub>F<sup>+</sup> (в молекуле N<sub>3</sub>F ν<sub>2</sub>=1090 см<sup>-1</sup>, ν<sub>1</sub> = =2037 см<sup>-1</sup>). Результаты сопоставляются с данными по ФЭС и значениями ПИ МО родственных молекул XN<sub>3</sub> (X=Cl, Br, H, CH<sub>3</sub>). В. М. Ковба

X. 1988, 19, N 16

FN<sub>3</sub>

№ 36685

1992

4 Д65. Квантовомеханические неэмпирические исследования структуры и стабильности азидов галогенов, XN<sub>3</sub>, (X=F, Cl, Br, I). Quantum mechanical ab initio studies of the structures and stabilities of halogen azides XN<sub>3</sub>, (X=F, Cl, Br, I) / Otto M., D. Lotz S., Frenking G. // Inorg. Chem. — 1992. — 31, № 17. — С. 3647—3655. — Англ.

Li-1

Методом Хартри—Фока и с использованием теории возмущений в варианте Меллера—Плессета проведены расчеты геометрии, теплоты образования, энергий связи X—N<sub>3</sub> и колебательных частот молекул XN<sub>3</sub> (X=F, Cl, Br, I) и HN<sub>3</sub>.

(44)

CeN<sub>3</sub>,



BrN<sub>3</sub>, FN<sub>3</sub>, HN<sub>3</sub>

оф. 1993, № 4

$\text{FN}_3$

01136685

1992

117: 97790c Quantum mechanical ab initio studies of the structures and stabilities of halogen azides  $\text{XN}_3$  ( $\text{X} = \text{F}, \text{Cl}, \text{Br}, \text{I}$ ). Otto, M.; Lotz, S. D.; Frenking, G. (Fachbereich Chem., Philipps-Univ., D-3550 Marburg, Germany). *Inorg. Chem.* 1992, 31(17), 3647-55 (Eng). The authors report theor. predicted geometries, heats of formation,  $\text{X-N}_3$  bond energies, and vibrational spectra of the halogen azides  $\text{XN}_3$  ( $\text{X} = \text{F}, \text{Cl}, \text{Br}, \text{I}$ ), and  $\text{HN}_3$  calcd. by quantum chem. methods at the Hartree-Fock and correlated levels using all-electron wave functions and effective-core potentials. The theor. data are used to predict the geometries of  $\text{BrN}_3$  and  $\text{IN}_3$ , which have exptl. not been measured yet. A trans-bent ( $C_s$ ) geometry is calcd. for the halogen azides with a nearly const. bond angle of  $\sim 172^\circ$  for the  $\text{N}_3$  unit. The  $\text{XNN}$  angle increases from  $+103^\circ$  for  $\text{FN}_3$  to  $\sim 111^\circ$  for  $\text{IN}_3$ . A partial reassignment of the exptl. vibrational spectra of  $\text{BrN}_3$  and  $\text{IN}_3$  is suggested. The calcd.  $\text{X-N}_3$  bond strengths indicate the order  $\text{H} \gg \text{F} > \text{Cl} > \text{Br} > \text{I}$ ; i.e.,  $\text{FN}_3$  is predicted to have the strongest  $\text{X-N}$  bond among the halogen azides. The opposite stability order  $\text{F} < \text{Cl} < \text{Br} < \text{I}$  is calcd. for the  $\text{XN-N}_2$  bond of  $\text{XN}_3$ ; i.e., the dissociation of  $\text{XN}_3$  into  $\text{XN}$  ( $^3\Sigma^-$ ) +  $\text{N}_2$  is most exothermic for  $\text{FN}_3$  but endothermic for  $\text{IN}_3$ . The theor. results for the heat of formation and the  $\text{H-N}_3$  and  $\text{HN-N}_2$  dissociation energies

(D) 74

Copyimyph.  
Rapamun,  
 $\Delta_5\text{H}$ ,  
mop. faciem

C.A. 1992, 117, N10

$\text{CN}_3, \text{BrN}_3, \text{IN}_3, \text{HN}_3$

are in excellent agreement with exptl. results. The electronic structure of the halogen azides is analyzed with the help of the topol. anal. of the wave function. The X-N bond is essentially a single bond with a polarity  $X^{\delta-}N^{\delta+}$  for  $FN_3$  and  $X^{\delta+}N^{\delta-}$  for  $CiN_3$ ,  $BrN_3$ , and  $IN_3$ . The covalent bond order index  $P_{AB}$  indicates that the  $N_1-N_2$  bond in  $XN_3$  is intermediate between a single and a double bond and that the  $N_2-N_3$  bond has nearly a triple bond. The partial charge is always slightly neg. at  $N_2$  and slightly pos. at  $N_3$ .

FN3

Дн. 36685

1992

14 Б1024. Квантово-механические неэмпирические исследования структуры и стабильности галогеназидов,  $XN_3$  ( $X=F, Cl, Br, I$ ). Quantum mechanical ab initio studies of the structures and stabilities of halogen azides  $XN_3$  ( $X=F, Cl, Br, I$ ) /Otto M., Lotz S. D., Frenking G. //Inorg. Chem.—1992.—31, № 17.—С. 3647—3655.—Англ.

Методами Хартри—Фока и многочастичной теории возмущений Меллера—Плессе как с учетом всех электронов, так и с эффективным потенциалом остова рассчитаны св-ва молекул  $XN_3$  ( $X=F, Cl, Br, I$ ). Базисы построены на основе валентно-расщепленных наборов. Определены равновесные геометрич. конфигурации молекул, частоты и интенсивности колебаний, относит. энергии. Особенности электронной структуры проанализированы с помощью лапласианов плотности. Найдено, что для молекул  $XN_3$  характерны изогнутые геометрич. конфигурации транс-формы с почти постоянным углом  $N—N—N$   $172^\circ$ . Отмечены регулярности в энергиях связи  $X—N$ .

М.Н.

8  
73

Х. 1993, № 14

$ClN_3$ ,  $BrN_3$ ,  $IN_3$

при изменении галогена. Связь X—N м. б. охарактеризована как однократная, а N (1) — N (2) занимает промежуточное положение между одно- и двукратной.

А. В. Немухин



1995

F: N3F

P: 3

1Б139. О структуре и стабильности геометрических изомеров N[3]F. On the structure and stability of geometrical isomers of N[3]F / Chaban Galina,

Yarkony David R., Gordon Mark S. // J. Chem. Phys. - 1995. - 103, N 18. - C. 7983-7989. - Англ.

Неэмпирическим методом ССП с учетом электронной корреляции в рамках МП2, МК ССП и обобщенного метода валентных связей в базисе 6-31ГФ(d) исследовано электронное строение N[3]F. Для синглетного и триплетного состояний найдено по одному новому изомеру симметрии C[s] с трехчленным циклом из атомов азота, кинетически стабильных по отношению к ациклич. изомерам.

РМХ 1994

N<sub>3</sub>F

1995

123: 322479d On the structure and stability of geometrical isomers of N<sub>3</sub>F. Chaban, Galina; Yarkony, David R.; Gordon, Mark S. (Department Chemistry, Iowa State University, Ames, IA 50011 USA). *J. Chem. Phys.* 1995, 103(18), 7983-9 (Eng). The potential energy surfaces for the N<sub>3</sub>F mol. have been studied using multiconfigurational wave functions. Two new isomers were found, one on the singlet (<sup>1</sup>A') and one on the triplet (<sup>3</sup>A'') surface. Both isomers have a three-numbered cyclic structure and C<sub>3</sub> symmetry. The singlet cyclic isomer is endoergic relative to the open fluorine azide by 15-17 kcal/mol. Its kinetic stability is close to the stability of the open isomer: the barrier sepg. the cyclic isomer from the dissociation products N<sub>2</sub>(X <sup>1</sup>Σ<sub>g</sub><sup>+</sup>) + NF(a<sup>1</sup>Δ) is about 13-17 kcal/mol and is lower than the barrier to isomerization. The triplet cyclic isomer is much higher in energy (about 70 kcal/mol), with a barrier to dissociation to N<sub>2</sub>(X <sup>1</sup>Σ<sub>g</sub><sup>+</sup>) + NF(X <sup>3</sup>Σ<sup>-</sup>) on the order of 15 kcal/mol. Crossings of the <sup>1</sup>A' and the <sup>3</sup>A'' surfaces may allow the cyclic singlet isomer to predissociate to the ground state products, N<sub>2</sub>(X <sup>1</sup>Σ<sub>g</sub><sup>+</sup>) + NF(X <sup>3</sup>Σ<sup>-</sup>). It is shown, however, that the singlet-triplet surface of intersection lies 'behind' the barrier to singlet decompr., so that spin-forbidden predissocn. will not preclude detection of cyclic N<sub>3</sub>F.

copykmpa  
chabudish,  
mopen - pal  
vm

C.A. 1995, 123, N 24

1995

FN3

123: 96320m Experimental and Theoretical Vibrational Studies of Covalent X-N<sub>3</sub> Azides (X = H, F, Cl, Br, I). Application of the Density Functional Theory and Comparison with ab Initio Results. Schulz, Axel; Tornieporth-Oetting, Inis C.; Klapoetke, Thomas M. (Institut fuer Anorganische und Analytische Chemie, Technischen Universitaet Berlin, D-10623 Berlin, Germany). *Inorg. Chem.* 1995, 34(17), 4343-6 (Eng). The IR spectra of gaseous Cl azide, Br azide and I azide as well as the Raman spectrum of liq. Cl azide were recorded. The geometries and vibrational spectra of all halogen azides XN<sub>3</sub> (X = F, Cl, Br, I) and HN<sub>3</sub> were computed employing d. functional theory calcns. (DFT) at the self-consistent level with the nonlocal exchange functional of Becke (B) and the nonlocal correlation functional of Lee-Yang-Parr (B-LYP). The results were compared with those previously reported by Frenking et al. (*Inorg. Chem.* 1992, 31, 3647-3655) using quantum chem. ab initio methods at the Hartree-Fock and correlated levels. The results of DFT calcns. and exptl. obtained vibrational spectra indicate that the ν(X-N<sub>3</sub>) stretching modes (X = Cl, Br, I) had previously been assigned incorrectly. The general agreement between the computed geometries at correlated levels (ab initio, MP2; DFT, B-LYP) and the obsd. structures is very good. Whereas the ab initio calcns. predict too high frequencies due to the neglect of electron correlation and of anharmonicity and require scaling, the DFT computations at the correlated level (B-LYP) predict for all covalent azides considered the vibrational modes remarkably well and no scaling was required.

LIK, CRP,  
ab initio  
PAULM,  
M.A.  
12/74

C.A. 1995, 123 N 8

1995

F: FN3

P: 3

5Б1215. Экспериментальное и теоретическое исследование колебательных спектров ковалентных азидов X-N[3] (X=H, F, Cl, Br, I). Расчеты методом функционала плотности в сопоставлении с другими неэмпирическими приближениями. Experimental and theoretical vibrational studies of covalent X-N[3] azides (X=H, F, Cl, Br, I). Application of the density functional theory and comparison with ab initio results / Schulz Axel, Tornieporth-Oetting Inis C., Klapotke Thomas M. // Inorg. Chem. - 1995. - 34, N 17. - С. 4343-4346.

Англ.

Получены ИК- и КР-спектры XN[3] (X=F, Cl, Br, I) в газ. фазе. Интерпретация спектров этих соединений и HN[3] уточнена с помощью расчетов частот и форм колебаний методами функционала плотности и других неэмпирич. приближений. Отмечено, что на коррелированном уровне теории функционала плотности с функционалом B-LYP частоты передаются вполне удовлетворительно без обычного масштабирования.

P. 44. X. N 5, 1996

FN<sub>3</sub>

[Om. 4176d]

2003

Che Huijuan et al.,

2

Chemphyschem 2003, 4, N<sub>3</sub>,  
300 -